



Laboratorium Badań Środowiskowych  
ul. Józefa Piusa Dziekońskiego 3  
00-728 Warszawa  
e-mail: [Laboratorium@networks.pl](mailto:Laboratorium@networks.pl)



AB 419

S P R A W O Z D A N I E 8119/2023/OS  
Z POMIARÓW PÓL ELEKTROMAGNETYCZNYCH  
WYKONANYCH DLA POTRZEB OCHRONY ŚRODOWISKA

Badany obiekt: Instalacja radiokomunikacyjna T-Mobile Polska S.A.

Numer i nazwa: 24212 (96073N!) WBI\_CHOROSZCZ\_ZLOTORIA

Adres: ZŁOTORIA DZ.526/2, Powiat białostocki, WOJ. PODLASKIE

Data wykonania pomiarów: 2023-09-14

Sprawozdanie z badań bez pisemnej zgody laboratorium nie może być powielane inaczej niż w całości.  
Wynik przedstawione w niniejszym sprawozdaniu odnoszą się wyłącznie do badanego obiektu i do warunków i konfiguracji urządzeń w dniu wykonywania pomiarów.

**1. Właściciel badanego obiektu:**

T-Mobile Polska S.A., ul. Marynarska 12, 02-674 Warszawa

**2. Zleceniodawca:**

T-Mobile Polska S.A., ul. Marynarska 12, 02-674 Warszawa

**3. Przedstawiciel zleceniodawcy:**

NetWorkS! Sp.z o.o.

**4. Zakres zlecenia:**

Wykonanie badania i opracowanie sprawozdania z pomiarów natężenia pola elektrycznego i pola magnetycznego dla instalacji radiokomunikacyjnej T-Mobile Polska S.A. zlokalizowanej w miejscowości ZŁOTORIA DZ.526/2.

**5. Cel zlecenia:**

Wykonanie pomiarów pól elektromagnetycznych w otoczeniu instalacji radiokomunikacyjnej 24212 (96073N!) WBI\_CHOROSZCZ\_ZLOTORIA w odniesieniu do wymagań określonych w *Rozporządzeniu Ministra Klimatu z dnia 17 lutego 2020 r. w sprawie sposobów sprawdzania dotrzymania dopuszczalnych poziomów pól elektromagnetycznych w środowisku (Dz.U. 2022 poz. 2630)*.

**6. Pomiary zostały wykonane przez:**

Stanilewicz Tomasz  
Dudziński Adam

**7. Informacje o źródłach pól elektromagnetycznych**

**7.1. Sposób identyfikacji badanych źródeł pól elektromagnetycznych**

Identyfikacji źródeł i parametrów technicznych dokonano na podstawie analizy dokumentacji dotyczącej zlecenia oraz obserwacji miejsca wykonywania badań.

**7.2. Opis miejsca zainstalowania anten i urządzeń technicznych. Opis obiektu badań i jego otoczenia**

Instalacja radiokomunikacyjna zlokalizowana jest na terenie ogrodzonym. Anteny zawieszono na wieży kratowej. Urządzenia sterujące oraz zasilające zainstalowano w kontenerze u podstawy wieży. Wokół instalacji znajdują się tereny przemysłowe.

Instalacja radiokomunikacyjna jest obiektem bezobsługowym. Okresowe stanowiska pracy związane są z prowadzonymi w zależności od potrzeb konserwacjami, przeglądami, strojeniem i naprawami.

### 7.3. Parametry techniczne źródła pola elektromagnetycznego

Dane przedstawiające maksymalne parametry pracy instalacji przekazane przez zleceniodawcę:

Parametry systemu nadawczo-odbiorczego:

Charakterystyka promieniowania		kierunkowa					
Rzeczywisty czas pracy [h/dobę]		24					
Warunki pracy		znamionowe					
Rodzaj wytwarzanego pola		stacjonarne					
Lp.	Częstotliwość lub zakresy częstotliwości pracy [MHz]	Typ/producent anteny	liczba anten	Azymut [°]	kąt pochylenia* [°]	Wysokość środka elektrycznego anteny [m n.p.t.]	Równoważna moc promieniowana izotropowo (EIRP) [W]
1	800/1800/2100	ATR4518R6v06 Huawei	1	90	4/3.5/3.5	54.3	9894
2	900	ADU4518R7v06 Huawei	1	90	3	57.8	3883
3	800/1800/2100	ATR4518R6v06 Huawei	1	250	5/4.5/4.5	54.3	9894
4	900	ADU4518R7v06 Huawei	1	250	0	57.8	3883
5	800/1800/2100	ATR4518R6v06 Huawei	1	350	2/2/2	54.3	9894
6	900	ADU4518R7v06 Huawei	1	350	0	57.8	3883

\* wskazane wartości kąta pochylenia anten, zgodnie z informacją uzyskaną od zleceniodawcy, są wartościami stałymi

Parametry radiolinii:

Charakterystyka promieniowania		kierunkowa					
Rzeczywisty czas pracy [h/dobę]		24					
Warunki pracy		znamionowe					
Rodzaj wytwarzanego pola		stacjonarne					
Lp.	Linia radiowa			Antena			
	Typ/ Producent	Częstotliwość pracy [GHz]	Równoważna moc promieniowana izotropowo (EIRP) [W]	Typ/ producent	Średnica anteny [m]	Azymut (°)	Wysokość zainstalowania n.p.t [m]
1.	Ericsson CN510 RAU2X Harris Stratex	38	631	ANT2_0.3 38 HP Ericsson	0.3	95	60
2.	NP ERICSSON RAU2X 23GHZ 2x56MHz XPIC Ericsson	23	23498	ANT2_1.2 23 HPX Ericsson	1.2	102	51.5
3.	NP ERICSSON ML 6352 R2+ 70/80GHz 250MHz Ericsson	80	7080	ANT2_0.6 80 HP/HPX Ericsson	0.6	103	49.8
4.	Ericsson CN510 RAU2X Harris Stratex	38	4	ANT2_0.3 38 HP Ericsson	0.3	148	60
5.	WTM 3100 23GHz 14MHz Harris Stratex	23	978	VHLP2-23 Andrew	0.6	251	50
6.	Huawei RTN 905S XMC-3 Huawei	32	795	A32S03M-3X Andrew	0.3	254	60
7.	NP ERICSSON ML 6363 23GHZ 2x56MHz XPIC Ericsson	23	3725	ANT2_0.6 23 HP/HPX Ericsson	0.6	255	41

Sprawozdanie z badań bez pisemnej zgody laboratorium nie może być powielane inaczej niż w całości.  
Wynik przedstawione w niniejszym sprawozdaniu odnoszą się wyłącznie do badanego obiektu i do warunków i konfiguracji urządzeń w dniu wykonywania pomiarów.

Charakterystyka promieniowania				kierunkowa			
Rzeczywisty czas pracy [h/dobę]				24			
Warunki pracy				znamionowe			
Rodzaj wytwarzanego pola				stacjonarne			
Lp.	Linia radiowa			Antena			
	Typ/ Producent	Częstotliwość pracy [GHz]	Równoważna moc promieniowana izotropowo (EIRP) [W]	Typ/ producent	Średnica anteny [m]	Azymut (°)	Wysokość zainstalowania n.p.t [m]
8.	NEC iPasolink 100E Harris Stratex	23	310	VHLP1-23 Andrew	0.3	256	51
9.	Ericsson CN510 RAU2X Harris Stratex	38	1	ANT2_0.3 38 HP Ericsson	0.3	272	60
10.	NP ERICSSON RAU2X ACD 23GHz 2x56MHz XPIC Ericsson	23	5903	ANT2_0.6 23 HP/HPX Ericsson	0.6	294	50.5
11.	NP ERICSSON ML 6363 18GHz 2x56MHz XPIC Ericsson	18	11777	ANT3_1.2 18 HP/HPX Ericsson	1.2	360	51.5

#### 7.4 Inne źródła pól elektromagnetycznych

Na podstawie informacji otrzymanych od użytkownika oraz obserwacji otoczenia miejsca wykonywania pomiarów stwierdzono występowanie innych źródeł pola-EM, pracujących w systemie: telefonii komórkowej (800MHz-2600MHz), linii radiowych (5GHz – 90GHz), które istotnie wpływają na wyniki pomiarów.

### 8. Opis pomiarów

#### 8.1. Metoda badań

Zgodna z rozporządzeniem Ministra Klimatu z dnia 17 lutego 2020 r. w sprawie sposobów sprawdzania dotrzymania dopuszczalnych poziomów pól elektromagnetycznych w środowisku (Dz.U. 2022 poz. 2630), określona w pkt 25 ppkt 1 załącznika do niniejszego rozporządzenia.

#### 8.2. Termin pomiarów i warunki środowiskowe

Podczas wykonywania pomiarów pól elektromagnetycznych nie występowały opady atmosferyczne. Wyniki pomiaru parametrów pogodowych przedstawia poniższa tabela:

Data [rrrr-mm-dd]	Godzina [hh:mm-hh:mm]	Warunki środowiskowe			
		Temperatura [°C]		Wilgotność względna [%]	
2023-09-14	11:55-13:05	Przed pomiarem	Po pomiarach	Przed pomiarem	Po pomiarach
		21.0	20.0	66.0	64.0

Przedstawione wyżej warunki środowiskowe, występujące podczas wykonywania pomiarów pól elektromagnetycznych, są zgodne ze specyfikacją techniczną użytego zestawu pomiarowego.

#### 8.3. Warunki pracy urządzeń nadawczych

Podczas pomiarów w przypadku uzyskania wyniku pomiaru szerokopasmowego wykonanego zastosowaną metodą, dla zakresów częstotliwości od 10 MHz do 300 GHz, powiększonego o rozszerzoną niepewność pomiaru  $U$  dla współczynnika rozszerzenia  $k = 2$  przekraczającego 70% najniższej dopuszczalnej wartości składowej elektrycznej lub magnetycznej pola dla objętych pomiarami zakresów częstotliwości, uwzględnia się poprawki pomiarowe przekazane przez zleceniodawcę, umożliwiające uwzględnienie maksymalnych parametrów pracy instalacji zgodnie z pkt 7 załącznika do Rozporządzeniem Ministra Klimatu z dnia 17 lutego 2020 r. w sprawie sposobów sprawdzania dotrzymania dopuszczalnych poziomów pól elektromagnetycznych w środowisku (Dz. U. 2022, poz. 2630) zaznaczając, że wymagane jest wykonanie pomiaru z wykorzystaniem miernika selektywnego. W przypadku uzyskania wyniku pomiaru szerokopasmowego wykonanego zastosowaną metodą, dla zakresów częstotliwości od

Sprawozdanie z badań bez pisemnej zgody laboratorium nie może być powielane inaczej niż w całości.  
Wynik przedstawione w niniejszym sprawozdaniu odnoszą się wyłącznie do badanego obiektu i do warunków i konfiguracji urządzeń w dniu wykonywania pomiarów.

10 MHz do 300 GHz, powiększonego o rozszerzoną niepewność pomiaru U dla współczynnika rozszerzenia  $k = 2$  nieprzekraczającego 70% najniższej dopuszczalnej wartości składowej elektrycznej lub magnetycznej pola dla objętych pomiarami zakresów częstotliwości, nie uwzględnia się poprawek pomiarowych.

#### 8.4. Wyposażenie pomiarowe

Zestaw pomiarowy służący do pomiaru natężenia składowej elektrycznej pola elektromagnetycznego złożony z szerokopasmowego miernika i sondy pomiarowej:

Oznaczenie miernika	Producent	Model	Numer fabryczny	Oznaczenie sondy	Producent	Model	Numer fabryczny
M-19	Narda Safety Test Solution	Miernik pól elektromagnetycznych NBM-550	H-0129	S-19	Narda Safety Test Solution	Sonda EF9091	A-0057

Mierniki natężenia pola elektromagnetycznego podlegają okresowemu sprawdzeniu zgodnie z procedurą wewnętrzną P-03 i PB-01. Świadczenie wzorcowania zestawu pomiarowego z dnia 22 maja 2023 o numerze LWiMP/W/175/23 wydane przez Politechnikę Wrocławską.

Data ważności świadectwa wzorcowania: 22 maja 2025 (zgodnie z procedurą wewnętrzną P-03).

Oznaczenie miernika	Producent	Model	Numer fabryczny	Oznaczenie sondy	Producent	Model	Numer fabryczny
M-19	Narda Safety Test Solution	Miernik pól elektromagnetycznych NBM-550	H-0129	S-20	Narda Safety Test Solution	Sonda EF0391	D-1438

Mierniki natężenia pola elektromagnetycznego podlegają okresowemu sprawdzeniu zgodnie z procedurą wewnętrzną P-03 i PB-01. Świadczenie wzorcowania zestawu pomiarowego z dnia 22 maja 2023 o numerze LWiMP/W/176/23 wydane przez Politechnikę Wrocławską.

Data ważności świadectwa wzorcowania: 22 maja 2025 (zgodnie z procedurą wewnętrzną P-03).

Termohigrometr:

Oznaczenie:	TH-22	Producent:	AZ INSTRUMENT CORP	Model:	Termohigrometr AZ8706
-------------	-------	------------	--------------------	--------	-----------------------

Data ważności świadectwa wzorcowania: 17 grudnia 2023 (zgodnie z procedurą wewnętrzną P-03).

Dalmierz:

Oznaczenie	Producent	Typ	Numer seryjny	Nr świadectwa wzorcowania	Data świadectwa wzorcowania
D-11	Leica	Dalmierz Leica Disto D510	1042957453	4609.22-M11-4180-1748/14	9 stycznia 2015

Data ważności świadectwa wzorcowania: 9 stycznia 2025 (zgodnie z procedurą wewnętrzną P-03).

Odbiornik GNSS:

Oznaczenie	Producent	Model	Numer fabryczny
G-01	Stonex	S7-G GIS	S7G4083040009

Odbiorniki podlegają okresowemu sprawdzeniu zgodnie z procedurą wewnętrzną P-03.

## 9. Wyniki pomiarów

### Pole elektryczne

Nr pionu	Opis umiejscowienia pionu (punktu pomiarowego)	Wysokość pomiaru [m]	Zmierzona wartość natężenia pola elektrycznego E [V/m] <sup>1,5</sup>			Wartość natężenia pola elektrycznego powiększona o niepewność pomiaru <sup>4</sup> E [V/m]	Wskaźnikowa wartość poziomu emisji pól elektromagnetycznych WM <sub>E</sub> <sup>3</sup>	Współrzędne geograficzne pionu (punktu pomiarowego) <sup>2</sup>
			Sonda S-19	Sonda S-20	SUMA			
1	DPP w wejściu do budynku biurowego "Mateco"- budynek	0.3-2.0	<1.0*	<1.0*	<1.0*	1.3	0.05	53°9'50.0" 22°55'46.6"

Sprawozdanie z badań bez pisemnej zgody laboratorium nie może być powielane inaczej niż w całości. Wynik przedstawione w niniejszym sprawozdaniu odnoszą się wyłącznie do badanego obiektu i do warunków i konfiguracji urządzeń w dniu wykonywania pomiarów.

	zamknięty, wewnątrz brak dostępu							
2	GKP w odległości 5m od anteny sektorowej az. 90°	0.3-2.0	<1.0*	<1.0*	<1.0*	1.3	0.05	53°9'50.8" 22°55'45.1"
3	GKP w odległości 24m od anteny sektorowej az. 90°	0.3-2.0	<1.0*	<1.0*	<1.0*	1.3	0.05	53°9'50.8" 22°55'46.2"
4	GKP w odległości 43m od anteny sektorowej az. 90°	0.3-2.0	<1.0*	<1.0*	<1.0*	1.3	0.05	53°9'50.8" 22°55'47.3"
5	GKP w odległości 62m od anteny sektorowej az. 90°	0.3-2.0	<1.0*	<1.0*	<1.0*	1.3	0.05	53°9'50.8" 22°55'48.4"
6	GKP w odległości 81m od anteny sektorowej az. 90°	0.3-2.0	<1.0*	<1.0*	<1.0*	1.3	0.05	53°9'50.8" 22°55'49.4"
7	GKP w odległości 98m od anteny sektorowej az. 90°	0.3-2.0	<1.0*	<1.0*	<1.0*	1.3	0.05	53°9'50.8" 22°55'50.2"
8	GKP w odległości 5m od anteny radioliniowej az. 95°	0.3-2.0	<1.0*	<1.0*	<1.0*	1.3	0.05	53°9'50.4" 22°55'45.1"
9	GKP w odległości 24m od anteny radioliniowej az. 95°	0.3-2.0	<1.0*	<1.0*	<1.0*	1.3	0.05	53°9'50.4" 22°55'46.2"
10	GKP w odległości 43m od anteny radioliniowej az. 95°	0.3-2.0	<1.0*	<1.0*	<1.0*	1.3	0.05	53°9'50.4" 22°55'47.3"
11	GKP w odległości 62m od anteny radioliniowej az. 95°	0.3-2.0	<1.0*	<1.0*	<1.0*	1.3	0.05	53°9'50.4" 22°55'48.4"
12	GKP w odległości 81m od anteny radioliniowej az. 95°	0.3-2.0	<1.0*	<1.0*	<1.0*	1.3	0.05	53°9'50.4" 22°55'49.1"
13	GKP w odległości 5m od anteny radioliniowej az. 102°	0.3-2.0	<1.0*	<1.0*	<1.0*	1.3	0.05	53°9'50.4" 22°55'45.1"
14	GKP w odległości 24m od anteny radioliniowej az. 102°	0.3-2.0	<1.0*	<1.0*	<1.0*	1.3	0.05	53°9'50.4" 22°55'46.2"
15	GKP w odległości 43m od anteny radioliniowej az. 102°	0.3-2.0	<1.0*	<1.0*	<1.0*	1.3	0.05	53°9'50.4" 22°55'47.3"
16	GKP w odległości 62m od anteny radioliniowej az. 102°	0.3-2.0	<1.0*	<1.0*	<1.0*	1.3	0.05	53°9'50.0" 22°55'48.0"
17	GKP w odległości 81m od anteny radioliniowej az. 102°	0.3-2.0	<1.0*	<1.0*	<1.0*	1.3	0.05	53°9'50.0" 22°55'49.1"
18	GKP w odległości 5m od anteny radioliniowej az. 103°	0.3-2.0	<1.0*	<1.0*	<1.0*	1.3	0.05	53°9'50.4" 22°55'45.1"
19	GKP w odległości 24m od anteny radioliniowej az. 103°	0.3-2.0	<1.0*	<1.0*	<1.0*	1.3	0.05	53°9'50.4" 22°55'46.2"
20	GKP w odległości 38m od anteny radioliniowej az. 103°	0.3-2.0	<1.0*	<1.0*	<1.0*	1.3	0.05	53°9'50.4" 22°55'46.9"
21	GKP w odległości 62m od anteny radioliniowej az. 103°	0.3-2.0	<1.0*	<1.0*	<1.0*	1.3	0.05	53°9'50.0" 22°55'48.0"
22	GKP w odległości 81m od anteny radioliniowej az. 103°	0.3-2.0	<1.0*	<1.0*	<1.0*	1.3	0.05	53°9'50.0" 22°55'49.1"
23	GKP w odległości 5m od anteny radioliniowej az. 148°	0.3-2.0	<1.0*	<1.0*	<1.0*	1.3	0.05	53°9'50.4" 22°55'44.8"
24	GKP w odległości 24m od anteny radioliniowej az. 148°	0.3-2.0	<1.0*	<1.0*	<1.0*	1.3	0.05	53°9'49.7" 22°55'45.5"
25	GKP w odległości 48m od anteny radioliniowej az. 148°	0.3-2.0	<1.0*	<1.0*	<1.0*	1.3	0.05	53°9'49.3" 22°55'46.2"
26	GKP w odległości 62m od anteny radioliniowej az. 148°	0.3-2.0	<1.0*	<1.0*	<1.0*	1.3	0.05	53°9'49.0" 22°55'46.6"

Sprawozdanie z badań bez pisemnej zgody laboratorium nie może być powielane inaczej niż w całości.  
Wynik przedstawione w niniejszym sprawozdaniu odnoszą się wyłącznie do badanego obiektu i do warunków i konfiguracji  
urządzeń w dniu wykonywania pomiarów.

27	GKP w odległości 81m od anteny radioliniowej az. 148°	0.3-2.0	<1.0*	<1.0*	<1.0*	1.3	0.05	53°9'48.2" 22°55'46.9"
28	Pkp we wjeździe na teren pomieszczenia magazynowego	0.3-2.0	<1.0*	<1.0*	<1.0*	1.3	0.05	53°9'49.7" 22°55'42.6"
29	GKP w odległości 5m od anteny radioliniowej az. 251°	0.3-2.0	<1.0*	<1.0*	<1.0*	1.3	0.05	53°9'50.4" 22°55'44.4"
30	GKP w odległości 24m od anteny radioliniowej az. 251°	0.3-2.0	<1.0*	<1.0*	<1.0*	1.3	0.05	53°9'50.4" 22°55'43.7"
31	GKP w odległości 37m od anteny radioliniowej az. 251°	0.3-2.0	<1.0*	<1.0*	<1.0*	1.3	0.05	53°9'50.0" 22°55'43.0"
32	GKP w odległości 49m od anteny radioliniowej az. 251°	0.3-2.0	<1.0*	<1.0*	<1.0*	1.3	0.05	53°9'50.0" 22°55'42.2"
33	GKP w odległości 81m od anteny radioliniowej az. 251°	0.3-2.0	<1.0*	<1.0*	<1.0*	1.3	0.05	53°9'49.7" 22°55'40.8"
34	GKP w odległości 5m od anteny radioliniowej az. 254°	0.3-2.0	<1.0*	<1.0*	<1.0*	1.3	0.05	53°9'50.4" 22°55'44.4"
35	GKP w odległości 24m od anteny radioliniowej az. 254°	0.3-2.0	<1.0*	<1.0*	<1.0*	1.3	0.05	53°9'50.4" 22°55'43.7"
36	GKP w odległości 43m od anteny radioliniowej az. 254°	0.3-2.0	<1.0*	<1.0*	<1.0*	1.3	0.05	53°9'50.0" 22°55'42.6"
37	GKP w odległości 59m od anteny radioliniowej az. 254°	0.3-2.0	<1.0*	<1.0*	<1.0*	1.3	0.05	53°9'50.0" 22°55'41.9"
38	GKP w odległości 81m od anteny radioliniowej az. 254°	0.3-2.0	<1.0*	<1.0*	<1.0*	1.3	0.05	53°9'49.7" 22°55'40.4"
39	GKP w odległości 5m od anteny radioliniowej az. 256°	0.3-2.0	<1.0*	<1.0*	<1.0*	1.3	0.05	53°9'50.4" 22°55'44.4"
40	GKP w odległości 24m od anteny radioliniowej az. 256°	0.3-2.0	<1.0*	<1.0*	<1.0*	1.3	0.05	53°9'50.4" 22°55'43.7"
41	GKP w odległości 43m od anteny radioliniowej az. 256°	0.3-2.0	<1.0*	<1.0*	<1.0*	1.3	0.05	53°9'50.0" 22°55'42.6"
42	GKP w odległości 62m od anteny radioliniowej az. 256°	0.3-2.0	<1.0*	<1.0*	<1.0*	1.3	0.05	53°9'50.0" 22°55'41.5"
43	GKP w odległości 81m od anteny radioliniowej az. 256°	0.3-2.0	<1.0*	<1.0*	<1.0*	1.3	0.05	53°9'50.0" 22°55'40.4"
44	GKP w odległości 5m od anteny radioliniowej az. 255°	0.3-2.0	<1.0*	<1.0*	<1.0*	1.3	0.05	53°9'50.8" 22°55'44.4"
45	GKP w odległości 24m od anteny radioliniowej az. 255°	0.3-2.0	<1.0*	<1.0*	<1.0*	1.3	0.05	53°9'50.4" 22°55'43.7"
46	GKP w odległości 43m od anteny radioliniowej az. 255°	0.3-2.0	<1.0*	<1.0*	<1.0*	1.3	0.05	53°9'50.4" 22°55'42.6"
47	GKP w odległości 62m od anteny radioliniowej az. 255°	0.3-2.0	<1.0*	<1.0*	<1.0*	1.3	0.05	53°9'50.0" 22°55'41.5"
48	GKP w odległości 81m od anteny radioliniowej az. 255°	0.3-2.0	<1.0*	<1.0*	<1.0*	1.3	0.05	53°9'50.0" 22°55'40.4"
49	GKP w odległości 5m od anteny radioliniowej az. 272°	0.3-2.0	<1.0*	<1.0*	<1.0*	1.3	0.05	53°9'50.4" 22°55'44.4"
50	GKP w odległości 24m od anteny radioliniowej az. 272°	0.3-2.0	<1.0*	<1.0*	<1.0*	1.3	0.05	53°9'50.4" 22°55'43.3"
51	GKP w odległości 43m od anteny radioliniowej az. 272°	0.3-2.0	<1.0*	<1.0*	<1.0*	1.3	0.05	53°9'50.4" 22°55'42.6"

Sprawozdanie z badań bez pisemnej zgody laboratorium nie może być powielane inaczej niż w całości.  
Wynik przedstawione w niniejszym sprawozdaniu odnoszą się wyłącznie do badanego obiektu i do warunków i konfiguracji urządzeń w dniu wykonywania pomiarów.

52	GKP w odległości 62m od anteny radioliniowej az. 272°	0.3-2.0	<1.0*	<1.0*	<1.0*	1.3	0.05	53°9'50.4" 22°55'41.5"
53	GKP w odległości 81m od anteny radioliniowej az. 272°	0.3-2.0	<1.0*	<1.0*	<1.0*	1.3	0.05	53°9'50.4" 22°55'40.4"
54	GKP w odległości 5m od anteny radioliniowej az. 294°	0.3-2.0	<1.0*	<1.0*	<1.0*	1.3	0.05	53°9'50.8" 22°55'44.4"
55	GKP w odległości 24m od anteny radioliniowej az. 294°	0.3-2.0	<1.0*	<1.0*	<1.0*	1.3	0.05	53°9'51.1" 22°55'43.7"
56	GKP w odległości 43m od anteny radioliniowej az. 294°	0.3-2.0	<1.0*	<1.0*	<1.0*	1.3	0.05	53°9'51.1" 22°55'42.6"
57	GKP w odległości 62m od anteny radioliniowej az. 294°	0.3-2.0	<1.0*	<1.0*	<1.0*	1.3	0.05	53°9'51.5" 22°55'41.9"
58	GKP w odległości 75m od anteny radioliniowej az. 294°	0.3-2.0	<1.0*	<1.0*	<1.0*	1.3	0.05	53°9'51.5" 22°55'41.2"
59	GKP w odległości 10m od anteny sektorowej az. 350°	0.3-2.0	<1.0*	<1.0*	<1.0*	1.3	0.05	53°9'50.8" 22°55'44.8"
60	GKP w odległości 28m od anteny sektorowej az. 350°	0.3-2.0	<1.0*	<1.0*	<1.0*	1.3	0.05	53°9'51.5" 22°55'44.4"
61	GKP w odległości 62m od anteny sektorowej az. 350°	0.3-2.0	<1.0*	<1.0*	<1.0*	1.3	0.05	53°9'52.6" 22°55'44.0"
62	GKP w odległości 86m od anteny sektorowej az. 350°	0.3-2.0	<1.0*	<1.0*	<1.0*	1.3	0.05	53°9'53.3" 22°55'44.0"
63	GKP w odległości 8m od anteny radioliniowej az. 360°	0.3-2.0	<1.0*	<1.0*	<1.0*	1.3	0.05	53°9'50.8" 22°55'44.8"
64	GKP w odległości 28m od anteny radioliniowej az. 360°	0.3-2.0	<1.0*	<1.0*	<1.0*	1.3	0.05	53°9'51.5" 22°55'44.8"
65	GKP w odległości 63m od anteny radioliniowej az. 360°	0.3-2.0	<1.0*	<1.0*	<1.0*	1.3	0.05	53°9'52.6" 22°55'44.8"
66	GKP w odległości 82m od anteny radioliniowej az. 360°	0.3-2.0	<1.0*	<1.0*	<1.0*	1.3	0.05	53°9'53.3" 22°55'44.8"
67	PKP na az. 60° w odległości 44m od anteny radioliniowej az. 360°	0.3-2.0	<1.0*	<1.0*	<1.0*	1.3	0.05	53°9'51.5" 22°55'46.9"
68	PKP na az. 120° w odległości 88m od anteny radioliniowej az. 148°	0.3-2.0	<1.0*	<1.0*	<1.0*	1.3	0.05	53°9'49.0" 22°55'48.7"
69	PKP na az. 184° w odległości 51m od anteny radioliniowej az. 148°	0.3-2.0	<1.0*	<1.0*	<1.0*	1.3	0.05	53°9'49.0" 22°55'44.8"
70	PKP na az. 287° w odległości 57m od anteny radioliniowej az. 272°	0.3-2.0	<1.0*	<1.0*	<1.0*	1.3	0.05	53°9'51.1" 22°55'41.9"
-	GKP w odległości 487m od anteny sektorowej az. 350°	0.3-2.0	<1.0*	<1.0*	<1.0*	1.3	0.05	53°10'6.2" 22°55'40.1"
-	GKP w odległości 662m od anteny sektorowej az. 350°	0.3-2.0	<1.0*	<1.0*	<1.0*	1.3	0.05	53°10'11.6" 22°55'38.3"
-	GKP w odległości 412m od anteny sektorowej az. 90°	0.3-2.0	<1.0*	<1.0*	<1.0*	1.3	0.05	53°9'50.8" 22°56'7.1"
-	GKP w odległości 340m od anteny sektorowej az. 250°	0.3-2.0	<1.0*	<1.0*	<1.0*	1.3	0.05	53°9'46.8" 22°55'27.5"
-	GKP w odległości 659m od anteny sektorowej az. 250°	0.3-2.0	<1.0*	<1.0*	<1.0*	1.3	0.05	53°9'43.2" 22°55'11.3"

Sprawozdanie z badań bez pisemnej zgody laboratorium nie może być powielane inaczej niż w całości.  
Wynik przedstawione w niniejszym sprawozdaniu odnoszą się wyłącznie do badanego obiektu i do warunków i konfiguracji urządzeń w dniu wykonywania pomiarów.



Pole magnetyczne (wyznaczone na podstawie pomiaru wartości natężenia pola elektrycznego)

Nr pionu	Opis umiejscowienia pionu (punktu) pomiarowego	Wysokość pomiaru [m]	Wartość natężenia pola magnetycznego H [A/m] <sup>1</sup>			Wartość natężenia pola magnetycznego powiększona o niepewność pomiaru <sup>4</sup> H [A/m]	Wskaźnikowa wartość poziomu emisji pól elektromagnetycznych WM <sub>H</sub> <sup>3</sup>	Współrzędne geograficzne pionu (punktu) pomiarowego <sup>2</sup>
			Sonda S-19	Sonda S-20	SUMA			
1	DPP w wejściu do budynku biurowego "Mateco"- budynek zamknięty, wewnątrz brak dostępu	0.3-2.0	<0.003*	<0.003*	<0.003*	0.003	0.05	53°9'50.0" 22°55'46.6"
2	GKP w odległości 5m od anteny sektorowej az. 90°	0.3-2.0	<0.003*	<0.003*	<0.003*	0.003	0.05	53°9'50.8" 22°55'45.1"
3	GKP w odległości 24m od anteny sektorowej az. 90°	0.3-2.0	<0.003*	<0.003*	<0.003*	0.003	0.05	53°9'50.8" 22°55'46.2"
4	GKP w odległości 43m od anteny sektorowej az. 90°	0.3-2.0	<0.003*	<0.003*	<0.003*	0.003	0.05	53°9'50.8" 22°55'47.3"
5	GKP w odległości 62m od anteny sektorowej az. 90°	0.3-2.0	<0.003*	<0.003*	<0.003*	0.003	0.05	53°9'50.8" 22°55'48.4"
6	GKP w odległości 81m od anteny sektorowej az. 90°	0.3-2.0	<0.003*	<0.003*	<0.003*	0.003	0.05	53°9'50.8" 22°55'49.4"
7	GKP w odległości 98m od anteny sektorowej az. 90°	0.3-2.0	<0.003*	<0.003*	<0.003*	0.003	0.05	53°9'50.8" 22°55'50.2"
8	GKP w odległości 5m od anteny radioliniowej az. 95°	0.3-2.0	<0.003*	<0.003*	<0.003*	0.003	0.05	53°9'50.4" 22°55'45.1"
9	GKP w odległości 24m od anteny radioliniowej az. 95°	0.3-2.0	<0.003*	<0.003*	<0.003*	0.003	0.05	53°9'50.4" 22°55'46.2"
10	GKP w odległości 43m od anteny radioliniowej az. 95°	0.3-2.0	<0.003*	<0.003*	<0.003*	0.003	0.05	53°9'50.4" 22°55'47.3"
11	GKP w odległości 62m od anteny radioliniowej az. 95°	0.3-2.0	<0.003*	<0.003*	<0.003*	0.003	0.05	53°9'50.4" 22°55'48.4"
12	GKP w odległości 81m od anteny radioliniowej az. 95°	0.3-2.0	<0.003*	<0.003*	<0.003*	0.003	0.05	53°9'50.4" 22°55'49.1"
13	GKP w odległości 5m od anteny radioliniowej az. 102°	0.3-2.0	<0.003*	<0.003*	<0.003*	0.003	0.05	53°9'50.4" 22°55'45.1"
14	GKP w odległości 24m od anteny radioliniowej az. 102°	0.3-2.0	<0.003*	<0.003*	<0.003*	0.003	0.05	53°9'50.4" 22°55'46.2"
15	GKP w odległości 43m od anteny radioliniowej az. 102°	0.3-2.0	<0.003*	<0.003*	<0.003*	0.003	0.05	53°9'50.4" 22°55'47.3"
16	GKP w odległości 62m od anteny radioliniowej az. 102°	0.3-2.0	<0.003*	<0.003*	<0.003*	0.003	0.05	53°9'50.0" 22°55'48.0"

Sprawozdanie z badań bez pisemnej zgody laboratorium nie może być powielane inaczej niż w całości.  
Wynik przedstawione w niniejszym sprawozdaniu odnoszą się wyłącznie do badanego obiektu i do warunków i konfiguracji urządzeń w dniu wykonywania pomiarów.

17	GKP w odległości 81m od anteny radioliniowej az. 102°	0.3-2.0	<0.003*	<0.003*	<0.003*	0.003	0.05	53°9'50.0" 22°55'49.1"
18	GKP w odległości 5m od anteny radioliniowej az. 103°	0.3-2.0	<0.003*	<0.003*	<0.003*	0.003	0.05	53°9'50.4" 22°55'45.1"
19	GKP w odległości 24m od anteny radioliniowej az. 103°	0.3-2.0	<0.003*	<0.003*	<0.003*	0.003	0.05	53°9'50.4" 22°55'46.2"
20	GKP w odległości 38m od anteny radioliniowej az. 103°	0.3-2.0	<0.003*	<0.003*	<0.003*	0.003	0.05	53°9'50.4" 22°55'46.9"
21	GKP w odległości 62m od anteny radioliniowej az. 103°	0.3-2.0	<0.003*	<0.003*	<0.003*	0.003	0.05	53°9'50.0" 22°55'48.0"
22	GKP w odległości 81m od anteny radioliniowej az. 103°	0.3-2.0	<0.003*	<0.003*	<0.003*	0.003	0.05	53°9'50.0" 22°55'49.1"
23	GKP w odległości 5m od anteny radioliniowej az. 148°	0.3-2.0	<0.003*	<0.003*	<0.003*	0.003	0.05	53°9'50.4" 22°55'44.8"
24	GKP w odległości 24m od anteny radioliniowej az. 148°	0.3-2.0	<0.003*	<0.003*	<0.003*	0.003	0.05	53°9'49.7" 22°55'45.5"
25	GKP w odległości 48m od anteny radioliniowej az. 148°	0.3-2.0	<0.003*	<0.003*	<0.003*	0.003	0.05	53°9'49.3" 22°55'46.2"
26	GKP w odległości 62m od anteny radioliniowej az. 148°	0.3-2.0	<0.003*	<0.003*	<0.003*	0.003	0.05	53°9'49.0" 22°55'46.6"
27	GKP w odległości 81m od anteny radioliniowej az. 148°	0.3-2.0	<0.003*	<0.003*	<0.003*	0.003	0.05	53°9'48.2" 22°55'46.9"
28	Pkp we wjeździe na teren pomieszczenia magazynowego	0.3-2.0	<0.003*	<0.003*	<0.003*	0.003	0.05	53°9'49.7" 22°55'42.6"
29	GKP w odległości 5m od anteny radioliniowej az. 251°	0.3-2.0	<0.003*	<0.003*	<0.003*	0.003	0.05	53°9'50.4" 22°55'44.4"
30	GKP w odległości 24m od anteny radioliniowej az. 251°	0.3-2.0	<0.003*	<0.003*	<0.003*	0.003	0.05	53°9'50.4" 22°55'43.7"
31	GKP w odległości 37m od anteny radioliniowej az. 251°	0.3-2.0	<0.003*	<0.003*	<0.003*	0.003	0.05	53°9'50.0" 22°55'43.0"
32	GKP w odległości 49m od anteny radioliniowej az. 251°	0.3-2.0	<0.003*	<0.003*	<0.003*	0.003	0.05	53°9'50.0" 22°55'42.2"
33	GKP w odległości 81m od anteny radioliniowej az. 251°	0.3-2.0	<0.003*	<0.003*	<0.003*	0.003	0.05	53°9'49.7" 22°55'40.8"
34	GKP w odległości 5m od anteny radioliniowej az. 254°	0.3-2.0	<0.003*	<0.003*	<0.003*	0.003	0.05	53°9'50.4" 22°55'44.4"
35	GKP w odległości 24m od anteny radioliniowej az. 254°	0.3-2.0	<0.003*	<0.003*	<0.003*	0.003	0.05	53°9'50.4" 22°55'43.7"
36	GKP w odległości 43m od anteny	0.3-2.0	<0.003*	<0.003*	<0.003*	0.003	0.05	53°9'50.0" 22°55'42.6"

Sprawozdanie z badań bez pisemnej zgody laboratorium nie może być powielane inaczej niż w całości.  
Wynik przedstawione w niniejszym sprawozdaniu odnoszą się wyłącznie do badanego obiektu i do warunków i konfiguracji urządzeń w dniu wykonywania pomiarów.

	radioliniowej az. 254°							
37	GKP w odległości 59m od anteny radioliniowej az. 254°	0.3-2.0	<0.003*	<0.003*	<0.003*	0.003	0.05	53°9'50.0" 22°55'41.9"
38	GKP w odległości 81m od anteny radioliniowej az. 254°	0.3-2.0	<0.003*	<0.003*	<0.003*	0.003	0.05	53°9'49.7" 22°55'40.4"
39	GKP w odległości 5m od anteny radioliniowej az. 256°	0.3-2.0	<0.003*	<0.003*	<0.003*	0.003	0.05	53°9'50.4" 22°55'44.4"
40	GKP w odległości 24m od anteny radioliniowej az. 256°	0.3-2.0	<0.003*	<0.003*	<0.003*	0.003	0.05	53°9'50.4" 22°55'43.7"
41	GKP w odległości 43m od anteny radioliniowej az. 256°	0.3-2.0	<0.003*	<0.003*	<0.003*	0.003	0.05	53°9'50.0" 22°55'42.6"
42	GKP w odległości 62m od anteny radioliniowej az. 256°	0.3-2.0	<0.003*	<0.003*	<0.003*	0.003	0.05	53°9'50.0" 22°55'41.5"
43	GKP w odległości 81m od anteny radioliniowej az. 256°	0.3-2.0	<0.003*	<0.003*	<0.003*	0.003	0.05	53°9'50.0" 22°55'40.4"
44	GKP w odległości 5m od anteny radioliniowej az. 255°	0.3-2.0	<0.003*	<0.003*	<0.003*	0.003	0.05	53°9'50.8" 22°55'44.4"
45	GKP w odległości 24m od anteny radioliniowej az. 255°	0.3-2.0	<0.003*	<0.003*	<0.003*	0.003	0.05	53°9'50.4" 22°55'43.7"
46	GKP w odległości 43m od anteny radioliniowej az. 255°	0.3-2.0	<0.003*	<0.003*	<0.003*	0.003	0.05	53°9'50.4" 22°55'42.6"
47	GKP w odległości 62m od anteny radioliniowej az. 255°	0.3-2.0	<0.003*	<0.003*	<0.003*	0.003	0.05	53°9'50.0" 22°55'41.5"
48	GKP w odległości 81m od anteny radioliniowej az. 255°	0.3-2.0	<0.003*	<0.003*	<0.003*	0.003	0.05	53°9'50.0" 22°55'40.4"
49	GKP w odległości 5m od anteny radioliniowej az. 272°	0.3-2.0	<0.003*	<0.003*	<0.003*	0.003	0.05	53°9'50.4" 22°55'44.4"
50	GKP w odległości 24m od anteny radioliniowej az. 272°	0.3-2.0	<0.003*	<0.003*	<0.003*	0.003	0.05	53°9'50.4" 22°55'43.3"
51	GKP w odległości 43m od anteny radioliniowej az. 272°	0.3-2.0	<0.003*	<0.003*	<0.003*	0.003	0.05	53°9'50.4" 22°55'42.6"
52	GKP w odległości 62m od anteny radioliniowej az. 272°	0.3-2.0	<0.003*	<0.003*	<0.003*	0.003	0.05	53°9'50.4" 22°55'41.5"
53	GKP w odległości 81m od anteny radioliniowej az. 272°	0.3-2.0	<0.003*	<0.003*	<0.003*	0.003	0.05	53°9'50.4" 22°55'40.4"
54	GKP w odległości 5m od anteny radioliniowej az. 294°	0.3-2.0	<0.003*	<0.003*	<0.003*	0.003	0.05	53°9'50.8" 22°55'44.4"
55	GKP w odległości 24m od anteny radioliniowej az. 294°	0.3-2.0	<0.003*	<0.003*	<0.003*	0.003	0.05	53°9'51.1" 22°55'43.7"

Sprawozdanie z badań bez pisemnej zgody laboratorium nie może być powielane inaczej niż w całości.  
Wynik przedstawione w niniejszym sprawozdaniu odnoszą się wyłącznie do badanego obiektu i do warunków i konfiguracji urządzeń w dniu wykonywania pomiarów.

56	GKP w odległości 43m od anteny radioliniowej az. 294°	0.3-2.0	<0.003*	<0.003*	<0.003*	0.003	0.05	53°9'51.1" 22°55'42.6"
57	GKP w odległości 62m od anteny radioliniowej az. 294°	0.3-2.0	<0.003*	<0.003*	<0.003*	0.003	0.05	53°9'51.5" 22°55'41.9"
58	GKP w odległości 75m od anteny radioliniowej az. 294°	0.3-2.0	<0.003*	<0.003*	<0.003*	0.003	0.05	53°9'51.5" 22°55'41.2"
59	GKP w odległości 10m od anteny sektorowej az. 350°	0.3-2.0	<0.003*	<0.003*	<0.003*	0.003	0.05	53°9'50.8" 22°55'44.8"
60	GKP w odległości 28m od anteny sektorowej az. 350°	0.3-2.0	<0.003*	<0.003*	<0.003*	0.003	0.05	53°9'51.5" 22°55'44.4"
61	GKP w odległości 62m od anteny sektorowej az. 350°	0.3-2.0	<0.003*	<0.003*	<0.003*	0.003	0.05	53°9'52.6" 22°55'44.0"
62	GKP w odległości 86m od anteny sektorowej az. 350°	0.3-2.0	<0.003*	<0.003*	<0.003*	0.003	0.05	53°9'53.3" 22°55'44.0"
63	GKP w odległości 8m od anteny radioliniowej az. 360°	0.3-2.0	<0.003*	<0.003*	<0.003*	0.003	0.05	53°9'50.8" 22°55'44.8"
64	GKP w odległości 28m od anteny radioliniowej az. 360°	0.3-2.0	<0.003*	<0.003*	<0.003*	0.003	0.05	53°9'51.5" 22°55'44.8"
65	GKP w odległości 63m od anteny radioliniowej az. 360°	0.3-2.0	<0.003*	<0.003*	<0.003*	0.003	0.05	53°9'52.6" 22°55'44.8"
66	GKP w odległości 82m od anteny radioliniowej az. 360°	0.3-2.0	<0.003*	<0.003*	<0.003*	0.003	0.05	53°9'53.3" 22°55'44.8"
67	PKP na az. 60° w odległości 44m od anteny radioliniowej az. 360°	0.3-2.0	<0.003*	<0.003*	<0.003*	0.003	0.05	53°9'51.5" 22°55'46.9"
68	PKP na az. 120° w odległości 88m od anteny radioliniowej az. 148°	0.3-2.0	<0.003*	<0.003*	<0.003*	0.003	0.05	53°9'49.0" 22°55'48.7"
69	PKP na az. 184° w odległości 51m od anteny radioliniowej az. 148°	0.3-2.0	<0.003*	<0.003*	<0.003*	0.003	0.05	53°9'49.0" 22°55'44.8"
70	PKP na az. 287° w odległości 57m od anteny radioliniowej az. 272°	0.3-2.0	<0.003*	<0.003*	<0.003*	0.003	0.05	53°9'51.1" 22°55'41.9"
-	GKP w odległości 487m od anteny sektorowej az. 350°	0.3-2.0	<0.003*	<0.003*	<0.003*	0.003	0.05	53°10'6.2" 22°55'40.1"
-	GKP w odległości 662m od anteny sektorowej az. 350°	0.3-2.0	<0.003*	<0.003*	<0.003*	0.003	0.05	53°10'11.6" 22°55'38.3"
-	GKP w odległości 412m od anteny sektorowej az. 90°	0.3-2.0	<0.003*	<0.003*	<0.003*	0.003	0.05	53°9'50.8" 22°56'7.1"
-	GKP w odległości 340m od anteny	0.3-2.0	<0.003*	<0.003*	<0.003*	0.003	0.05	53°9'46.8" 22°55'27.5"

Sprawozdanie z badań bez pisemnej zgody laboratorium nie może być powielane inaczej niż w całości.  
Wynik przedstawione w niniejszym sprawozdaniu odnoszą się wyłącznie do badanego obiektu i do warunków i konfiguracji urządzeń w dniu wykonywania pomiarów.

	sektorowej az. 250°							
-	GKP w odległości 659m od anteny sektorowej az. 250°	0.3-2.0	<0.003*	<0.003*	<0.003*	0.003	0.05	53°9'43.2" 22°55'11.3"

GKP – Główny Kierunek Pomiarowy

DPP – Dodatkowy Pion Pomiarowy

PKP – Pomocniczy Kierunek Pomiarowy

<sup>1</sup> wyniki oznaczone \* są wynikami poniżej czułości zestawu pomiarowego i są wynikami spoza zakresu akredytacji. Do obliczenia wyniku skorygowanego przyjęto wartość skorelowaną z rzeczywistym wynikiem pomiaru - dolną granicę akredytowanego zakresu pomiarowego metody

<sup>2</sup> współrzędne geograficzne pozyskane metodą pomiaru bezpośredniego

<sup>3</sup> do wyznaczenia wartości wskaźnikowej  $W_{ME}$  i  $W_{MH}$  przyjęto na podstawie uzgodnień z klientem oraz rozpoznania źródeł, jako wartości dopuszczalne pola elektrycznego i magnetycznego odpowiednio 28 V/m i 0,073 A/m.

<sup>4</sup> do wyznaczenia niepewności dla wyników poniżej czułości zestawu pomiarowego, przyjęto niepewność dla minimalnej wartości z zakresu pomiarowego.

<sup>5</sup> maksymalna wartość chwilowa

Niepewność oszacowano zgodnie z dokumentem P-03 „Procedura nadzoru nad wyposażeniem” w postaci niepewności rozszerzonej wynikającej z niepewności standardowej pomnożonej przez współczynnik rozszerzenia  $k=2$ .

Całkowita szacowana niepewność rozszerzona składowej E wynosi odpowiednio:

sonda S-19: 27.4% dla częstotliwości do 4 GHz, sonda S-20: 29.4% dla częstotliwości do 3 GHz

Umiejscowienie pionów (punktów) pomiarowych przedstawiono w załączniku nr 2 do niniejszego sprawozdania.

## 10. Omówienie wyników pomiarów

W związku z tym, że żadna z wartości zmierzonych, udokumentowanych w tabelach w pkt. 9, uzyskanych w skutek zastosowania pomiaru szerokopasmowego, powiększonego o rozszerzoną niepewność pomiaru U dla współczynnika rozszerzenia  $k = 2$  nie przekroczyła 70% najniższej dopuszczalnej wartości składowej elektrycznej lub magnetycznej pola dla objętych pomiarami zakresów częstotliwości, nie uwzględnia się poprawek pomiarowych.

W wyniku zastosowania sposobu sprawdzenia dotrzymania dopuszczalnych poziomów pól elektromagnetycznych w środowisku, zgodnie pkt 25 ppkt 1 Rozporządzenia Ministra Klimatu z dnia 17 lutego 2020 r. (Dz. U. 2022, poz. 2630), w związku z tym, że żadna z wartości wskaźnikowych, udokumentowanych w tabelach w pkt. 9 nie przekracza wartości 1, stwierdza się, że w miejscach, w których wykonano pomiary w otoczeniu instalacji radiokomunikacyjnej 24212 (96073N!) WBI\_CHOROSZCZ\_ZLOTORIA, dopuszczalne poziomy pól elektromagnetycznych w środowisku należy uznać za dotrzymane.

Miejsca niedostępne podczas wykonywania pomiarów wskazane zostały w pkt. 9 (Wyniki pomiarów) lub na załączniku przedstawiającym usytuowanie pionów pomiarowych.

## 11. Podstawa prawna

- 1) Ustawa z dnia 27 kwietnia 2001 r. Prawo ochrony środowiska (Dz.U. 2022 poz. 2556)
- 2) Rozporządzenie Ministra Zdrowia z dnia 17 grudnia 2019 r. w sprawie dopuszczalnych poziomów pól elektromagnetycznych w środowisku (Dz. U. 2019, poz. 2448)
- 3) Rozporządzenie Ministra Klimatu z dnia 17 lutego 2020 r. w sprawie sposobów sprawdzania dotrzymania dopuszczalnych poziomów pól elektromagnetycznych w środowisku (Dz. U. 2022, poz. 2630),
- 4) Akredytacja nr AB 419 wydana przez Polskie Centrum Akredytacji (wydanie 21, z dnia 11 kwietnia 2023 r.)

## **12. Spis załączników**

- Załącznik 1. Lokalizacja obiektu badań
- Załącznik 2. Usytuowanie pionów (punktów) pomiarowych
- Załącznik 3. Dokumentacja fotograficzna obiektu badań

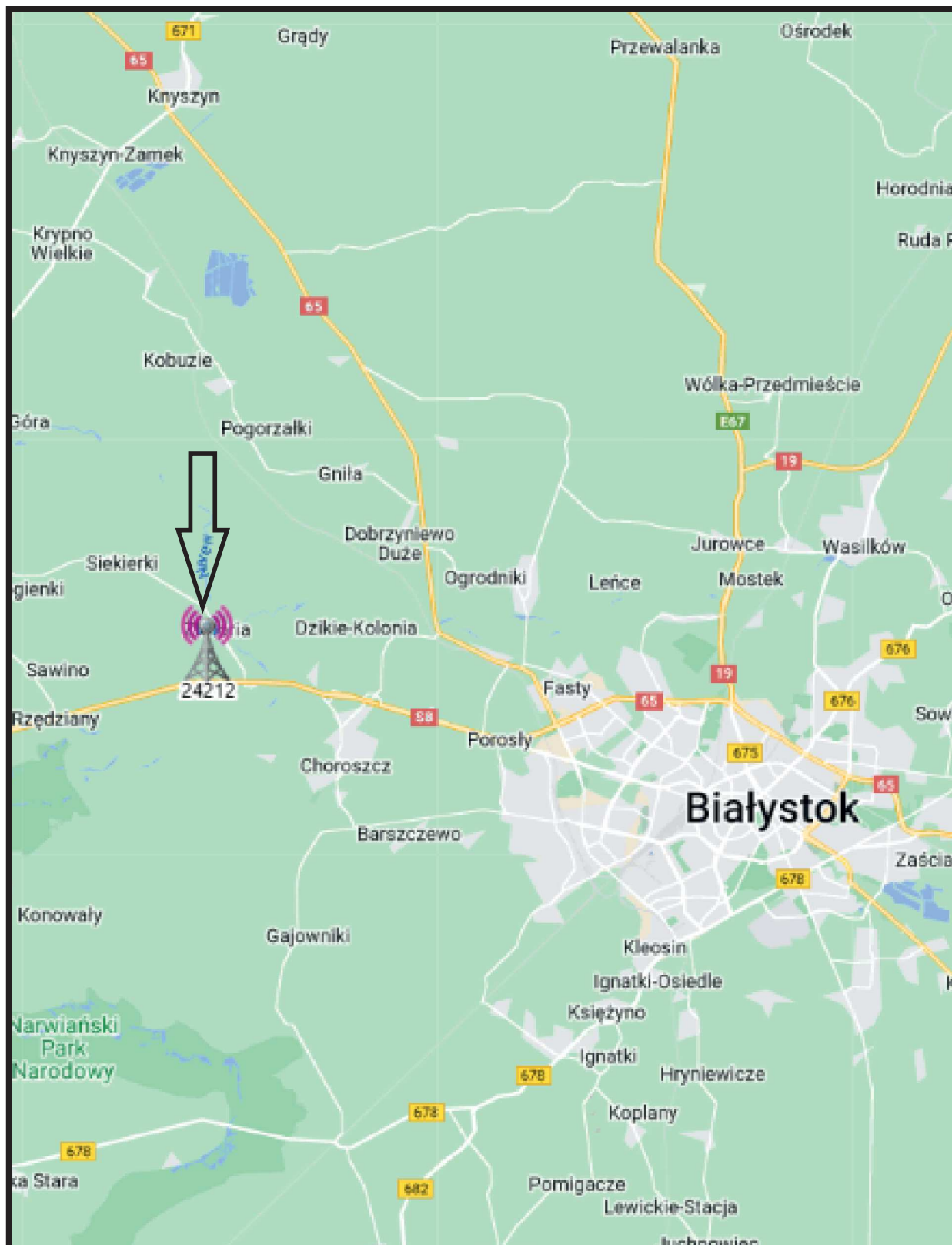
## **13. Data wydania i autoryzowania sprawozdania**

Obliczenia i sprawozdanie wykonał :

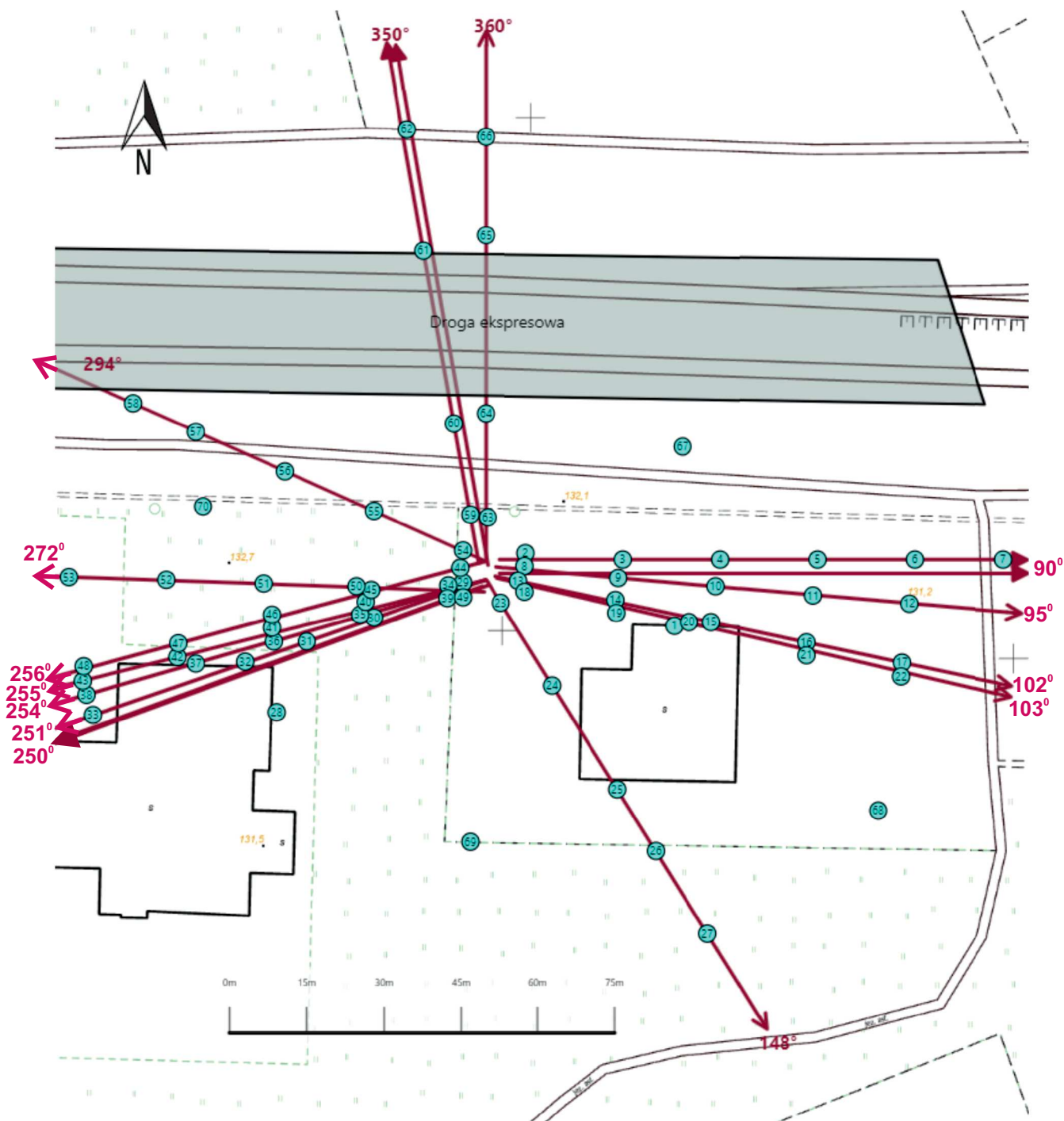
Sprawozdanie autoryzował:




**Koniec sprawozdania**

Sprawozdanie z badań bez pisemnej zgody laboratorium nie może być powielane inaczej niż w całości.  
Wynik przedstawione w niniejszym sprawozdaniu odnoszą się wyłącznie do badanego obiektu i do warunków i konfiguracji urządzeń w dniu wykonywania pomiarów.



Załącznik nr 1	<b>INSTALACJA RADIOKOMUNIKACYJNA T-Mobile Polska S.A. 24212 (96073N!) WBI_CHOROSZCZ_ZLOTORIA</b> Lokalizacja instalacji radiokomunikacyjnej
----------------	------------------------------------------------------------------------------------------------------------------------------------------------



Załącznik nr 2	<p style="text-align: center;">Instalacja radiokomunikacyjna T-Mobile Polska S.A.                  WBI_CHOROSZCZ_ZLOTORIA (96073N!)                  Usytuowanie pionów pomiarowych w otoczeniu instalacji radiokomunikacyjnej</p>
	<p>Legenda:</p> <div style="display: flex; justify-content: space-around; align-items: center;"> <div style="text-align: center;">                   Pion pomiarowy             </div> <div style="text-align: center;">                   Kierunek oddziaływania anten sektorowych             </div> <div style="text-align: center;">                   Kierunek oddziaływania anten radioliniowych             </div> </div>





<b>Załącznik nr 3</b>	<b>INSTALACJA RADIOKOMUNIKACYJNA T-Mobile Polska S.A. 24212 (96073N!) WBI_CHOROSZCZ_ZLOTORIA</b> Zdjęcia instalacji radiokomunikacyjnej
-----------------------	--------------------------------------------------------------------------------------------------------------------------------------------